中華民國第四十八屆中小學科學展覽會作品說明書

國中組 數學科

030422

利用回復路徑追蹤費馬點

學校名稱:臺北縣立福和國民中學

作者: 指導老師:

國二 李文展 洪駿源

國二 洪翊琇 鄭釧鋒

國二 陳怡方

國二 林冠好

關鍵詞: 費馬點、位能

作品名稱:利用回復路徑追蹤費馬點

摘要

- 一、本研究先證出:
 - (-)、n邊形的費馬點即本文所稱n孔系統的平衡中心。
 - (二)、n 邊形(n ≥ 3)的費馬點唯一。
- 二、利用 GSP 軟體,以物理方法我們研究出「回復路徑逼近法」,利用此法可求得任意 多邊形的費馬點。
- 三、以數學方法導出n=2的真正回復路徑方程式,接著證出等距線與回復路徑所在的方程式,其圖形爲共焦點的橢圓與雙曲線,並形成「**正交曲線**」。
- 四、對於 $n \ge 3$,我們猜測等距線 α 與回復路徑 β 爲「正交曲線」,並以「等距線逼近法」 作出的圖形驗證得證之。
- 五、因此,理論上要求得*n*孔系統的回復路徑方程式,只要先寫出等距線方程式,並利用其爲「正交」關係即可得。最後,只要作出兩條回復路徑之圖形,由其交點可得此*n*邊形的費馬點。

壹、研究動機

在資優營隊的學習裡,老師提到任意五邊形以上的費馬點,文獻上似乎沒有用數學的方式求出,你們可試著搜尋相關資料,看是否可用其他方法來解答?之後,我們在數學教育月刊上看到一篇文章,提到可以利用懸掛砝碼的重力平衡實驗找到三角形的費馬點,於是我們好奇的開始做了此實作,然而過程中每次結果都不盡相同。因此,我們想是否可找到其它方法,更有效率更精準的解決多邊形的費馬點問題。

貳、研究器材

電腦、紙、色砂、筆、壓克力板、魚線繩、20克重砝碼 10個

參、研究目的

- 一、探討物理上平衡中心與數學上費馬點的關係。
- 二、探討n孔系統的平衡中心是否唯一?也就是n邊形的費馬點是否唯一?
- 三、使用 GSP 軟體模擬回復路徑並簡易地追蹤多邊形的費馬點。
- 四、尋找n孔系統理論的回復路徑與相關性質。

肆、研究過程

一、名詞解釋

(一) **n** 孔系統

當具備下列條件,本研究稱之爲「n 孔系統」。

- 1、在桌面上有n個大小相同的小圓孔,分別命名為 F_1 、 F_2 、...、 F_n ,如圖1-1。
- 2、取n條適當長的細繩,分別穿過小圓孔,並將此n條繩子置於桌面上的部分連接於「Q點」(**註**-),繩子的另一端各掛等重的砝碼。
- 註一:(1)本研究將上述細繩連接處,稱為「Q點」。
 - (2)繩子連接於「Q點」所用掉的部分,長度不計。
 - 3、摩擦力不計。
 - 4、纙子重量不計。
- (二)、平衡中心:n 孔系統中「Q點」的移動僅受重力影響,因此系統靜止時,「Q點」 於桌面所在位置的點爲 P_m ,則稱 P_m 爲n 孔系統的「**平衡中心**」。(**註二**)

(圖1-1)

- 註二:1、本研究稱 P_m 為n孔系統的平衡中心。
 - 2、特別注意:當系統靜止時,合力不一定為0,亦可能為合力最小時。
- (三)、回復路徑:在「n孔系統」中,將「Q點」移往桌面的一點 P_1 處作釋放,由於系統 僅受重力影響,所以「Q點」最後會靜止於平衡中心 P_m 。我們將「Q點」 自 P_1 處移往 P_m 處的過程所形成的路徑軌跡,本研究稱之爲「回復路徑」。

二、文獻探討【費馬點的意義與幾何作圖】

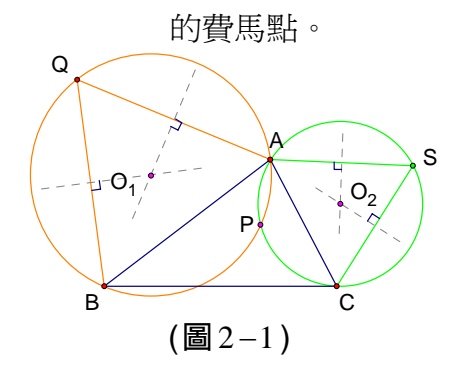
"一家公司要設立辦公室(P),讓這個辦公室P到這三個城鎮(A、B、C)的 距離總和是最短,那麼辦公室的位置該設立於何處呢?"

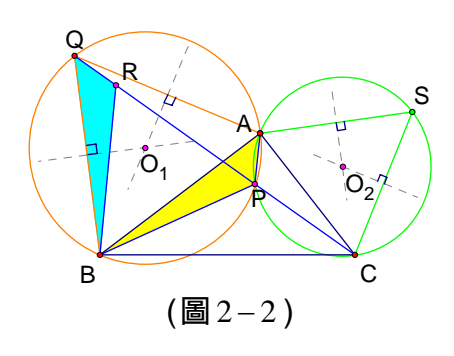
以幾何學而言,即是ΔABC所在平面,尋找一點使得此點至三頂點的距離和爲最小, 此點稱爲「**費馬點**」。其作圖方法與證明過程如下:

(一) $\triangle ABC$ 中:

1、作圖方法:(1)以任意兩邊 \overline{AB} 、 \overline{AC} 爲邊長作正 ΔABQ 與正 ΔACS ,如圖2-1。

(2)作正 $\triangle ABQ$ 與正 $\triangle ACS$ 的外接圓,則兩外接圓的交點 P 即爲 $\triangle ABC$





2、證明過程:(1).連 \overline{PA} 、 \overline{PB} 、 \overline{PC}

因爲 $P \cdot A \cdot Q \cdot B$ 四點共圓 $, P \cdot A \cdot S \cdot C$ 四點共圓

所以 $\angle APB = 180^{\circ} - 60^{\circ} = 120^{\circ}$; $\angle APC = 180^{\circ} - 60^{\circ} = 120^{\circ}$

推得∠BPC = 120°

(2).以 \overline{PB} 爲邊作正 ΔPBR ,連 \overline{PQ} ,如圖2-2。

因爲 $\overline{AB} = \overline{BQ}$, $\angle ABP = 60^{\circ} - \angle ABR = \angle QBR$

所以 $\triangle ABP \cong \triangle QBR$ (SAS 全等性質)

可得 $\angle BRQ = \angle APB = 120^{\circ}$, $\overline{PA} = \overline{QR}$

(3).因爲 $\angle BRQ + \angle BRP = 120^{\circ} + 60^{\circ} = 180^{\circ}$

$$\angle BPR + \angle BPC = 120^{\circ} + 60^{\circ} = 180^{\circ}$$

所以 $B \times R \times P \times C$ 四點共線

可得 $\overline{PA} + \overline{PB} + \overline{PC} = \overline{QR} + \overline{RP} + \overline{PC} = \overline{QC}$ 爲最小值,

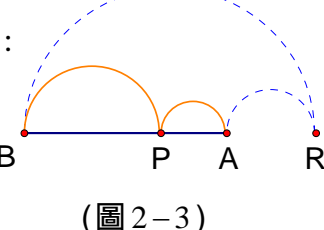
即P點爲 ΔABC 之費馬點。

特別地,當∠ $BAC \ge 120^{\circ}$,則A點爲 $\triangle ABC$ 的費馬點。

(二)、平面上,若P點到A、B兩點的距離和爲最短,則費馬點P爲 \overline{AB} 上任意一點:

如圖2-3,在 \overline{AB} 上任取一點P, \overline{AB} 外任取一點R,則:

 $\overline{PA} + \overline{PB} = \overline{AB} < \overline{RA} + \overline{RB}$,故得證。



(三)、四邊形費馬點即是四邊形對角線的交點P:

如圖2-4,四邊形ABCD中,P爲對角線的交點,Q爲異於P的任一點。

1、若Q不在對角線上,則在 ΔACQ 與 ΔBQD 中,

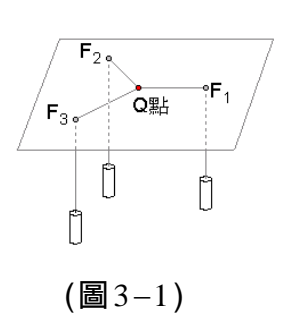
3、由 1、2 可得證對角線的交點 P 到四頂點的距離和爲最小,即 P 爲四邊形費馬點。

然而,文獻上對於五邊形以上費馬點的尋找都僅止於探討"正n邊形的費馬點即是其

然而,文獻上對於五邊形以上費馬點的尋找都僅止於探討"正n邊形的費馬點即是其中心",至於其他任意n邊形的費馬點並未有一般化的結果,實在可惜!我們試著尋找是否有其他解決任意n邊形的費馬點之辦法,很高興地在數學教育月刊第十七期、第26及41屆中華民國中小學科展作品(見附錄一)中得到:可利用如圖3-1的「三孔系統」重力平衡實驗,借助物理中"力的平衡原理"和"最小位能原理",求得最後達到重力平衡的點,就是此三角形的費馬點。在得到這樣的發現之下,我們迫不及待地做了相關的實驗。

三、使用 n 孔系統重力平衡實驗尋找費馬點的實作與深入探討

我們使用壓克力板、魚線繩、20克重砝碼 10個,設計了如圖 3-1的三孔系統重力平衡實驗。於實驗過程中將**Q**點拉至桌面任意 處釋放,發現系統最後靜止的平衡中心位置並不固定,其變因可能 爲(1).繩子與桌面產生的摩擦力;(2).繩子的重量。另外,我們亦產 生"三孔系統是否存在多個系統平衡中心"?



前頁所提及的文獻中,未能清楚的解釋上述疑問也未能將此重力平衡實驗做更一般 化的探討,僅簡略說明「三孔系統中的平衡中心就是費馬點」,那麼四邊形的費馬點是否 也能利用四孔系統的重力實驗來求得,甚至能否推論到一般化n孔系統的平衡中心就是 費馬點?以下,我們提出兩個問題:

問題一: n 孔系統的平衡中心就是此 n 孔所形成多邊形的費馬點?

(一)、n(n ≥ 3)孔系統的平衡中心就是費馬點

由物理觀點,我們知道「Q點」的移動是由高位能移動至低位能,也就是系統平衡時的平衡中心,即爲位能最低時。因此,我們試著由總位能公式E=mgh來推導,過程如下:

在n孔系統中如圖3-2,若桌面高度爲h、每個砝碼爲M 克重及 l_j (j=1,2,...,n)爲「Q點」通過 F_j 孔至懸掛砝碼處的繩長。今將n條繩子連接處「Q點」移往桌面上一點 $P_i(i=1,2,...,m)$,則此時系統總位能爲

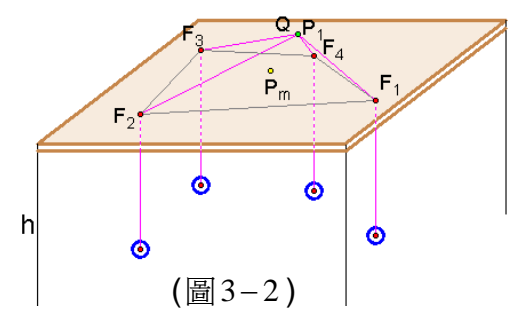
$$E_{i} = Mg[h - (l_{1} - \overline{P_{i}F_{1}})] + Mg[h - (l_{2} - \overline{P_{i}F_{2}})] + \dots + Mg[h - (l_{n} - \overline{P_{i}F_{n}})] , i = 1, 2, \dots, m$$

$$= Mg[nh - (l_1 + l_2 + \dots + l_n) + (\overline{P_i F_1} + \overline{P_i F_2} + \dots + \overline{P_i F_n})]$$

$$= \underline{Mg(nh-l+L_i)}$$
 3-1 $\pm \overline{L_i}$

其中總繩子長 $l = l_1 + l_2 + \cdots + l_n$

$$L_i = \overline{P_i F_1} + \overline{P_i F_2} + \dots + \overline{P_i F_n}$$
, $i = 1, 2, \dots, m$ $3 - 2 \neq \emptyset$

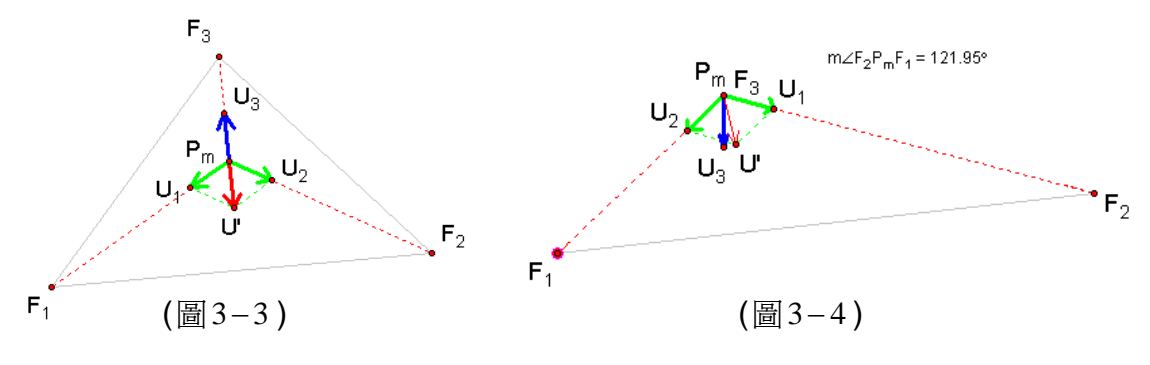


當Q點由 $P_1 \to P_2$ 最後移動到 P_m 時(此時系統處於平衡狀態),系統總位能 $E_i = E_m$ 爲最小,由3-1式可知nh-l 爲定値,因此可得知此時 L_m 値爲最小。若以數學觀點,因爲 $L_m = \overline{P_m F_1} + \overline{P_m F_2} + \cdots + \overline{P_m F_n}$ 爲平面上 P_m 與各頂點 $F_1 \times F_2 \times \cdots \times F_n$ 之距離和爲最小,故平衡中心 P_m 就是以 $F_1 \times F_2 \times \cdots \times F_n$ 這n 個圓孔連線形成的n 邊形之「費馬點」。我們將此推導結果,寫成下面【定理一】:

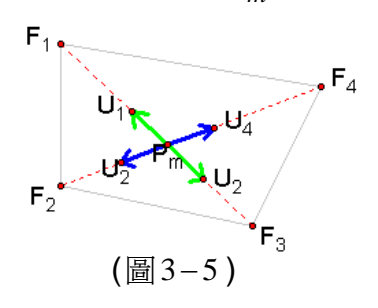
【定理一】n 孔系統的平衡中心,即是 n 孔(n 個點)所形成的多邊形之費馬點。

(二)、檢視文獻上三角形與四邊形的費馬點就是此三孔系統與四孔系統的平衡中心

- 1、在 $\Delta F_1F_2F_3$ 中,如圖3-3,若所有內角皆小於 120° ,由文獻探討(見 P_3)可知若滿足 $\angle F_1P_mF_2=\angle F_2P_mF_3=\angle F_3P_mF_1=120^\circ$,此時 P_m 至三頂點距離和爲最小,即 P_m 點爲費馬點。由物理力學的平衡觀點,此時 $\overline{P_mU_1}+\overline{P_mU_2}+\overline{P_mU_3}=\overline{P_mU_1}+\overline{P_mU_3}=\overline{0}$,所以費馬點所在的位置 P_m 爲系統的平衡中心。
- 2、在 $\Delta F_1F_2F_3$ 中,如圖3-4,若 $\angle F_1F_3F_2\geq 120^\circ$,由文獻探討(見 P_3)可知 $\Delta F_1F_2F_3$ 的 費馬點爲頂點 F_3 。由物理力學的平衡觀點,此時 $\overrightarrow{P_mU_1}+\overrightarrow{P_mU_2}=\overrightarrow{P_mU_1}\leq \overrightarrow{P_mU_3}$,即「Q點」受到來自 F_3 孔鉛直方向的拉力會大於桌面上 $\overrightarrow{P_mU_1}$ 與 $\overrightarrow{P_mU_2}$ 的合力,而卡在 F_3 洞口,所以費馬點所在的位置(頂點 F_3)爲系統的平衡中心。



3、在四邊形 $F_1F_2F_3F_4$ 中,由文獻探討(見 P_4)可知四邊形的費馬點就是對角線的交點。 由物理力學的平衡觀點,如圖 3-5 ,此時合力 $\overrightarrow{P_mU_1} + \overrightarrow{P_mU_2} + \overrightarrow{P_mU_3} + \overrightarrow{P_mU_4} = \overrightarrow{0}$, 也就是費馬點所在的位置(對角線的交點 P_m)為系統的平衡中心。



由【定理一】與上述三點說明可得知:數學上多邊形費馬點的尋找,即是物理學的「平衡中心」尋求。換言之,透過n孔系統重力平衡實驗所得到的平衡中心,就能找到此n孔所連成n邊形的「費馬點」。如此一來,文獻上找不到任意n邊形的費馬點之困境,便能有所突破!不過,由於實驗過程中,我們無法克服影響準確度的變因,以致於平衡中心的落點產生不確定性,如同前述,讓我們產生"n孔系統的平衡中心是否唯一?"的疑慮。

問題二:n 孔系統的平衡中心是否唯一?即此n 孔所形成多邊形的費馬點是否唯一?

我們將問題轉化成具一般化的問題,並寫成【定理二】如下:

【定理二】平面上有n個相異點 F_1 、 F_2 、…、 F_n ,若存在P、Q兩點,使得 $\overline{PF_1}+\overline{PF_2}+\dots+\overline{PF_n}=\overline{QF_1}+\overline{QF_2}+\dots+\overline{QF_n}$ 則P與Q重合。

【證明】
$$\overrightarrow{PF_1} + \overrightarrow{PF_2} + \cdots + \overrightarrow{PF_n} = \overrightarrow{QF_1} + \overrightarrow{QF_2} + \cdots + \overrightarrow{QF_n}$$

$$\Rightarrow (\overrightarrow{PF_1} - \overrightarrow{QF_1}) + (\overrightarrow{PF_2} - \overrightarrow{QF_2}) + \cdots + (\overrightarrow{PF_n} - \overrightarrow{QF_n}) = \overrightarrow{0}$$

$$\Rightarrow \overrightarrow{PQ} + \overrightarrow{PQ} + \cdots + \overrightarrow{PQ} = \overrightarrow{0}$$

$$\Rightarrow \overrightarrow{PQ} = \overrightarrow{0}$$

$$\therefore P = Q$$

從【定理二】可證得n孔系統的平衡中心必然唯一,即n孔所形成n邊形的費馬點只有一點。

從上述兩個問題的解答可以說明:理論上,透過n孔系統重力平衡實驗尋找費馬點的實作是可行的,且在 $n \ge 3$ 時必然只有一點。但有兩個缺點:

- 影響實驗準確度變因無法克服,多次實驗所得系統的平衡中心並不固定, 具有不確定性。
- 2、每探討一個圖形則需另外再製作新實驗模型,顯然耗時與費工,<mark>缺乏效率</mark> 與實用性。

針對上述的缺點,我們想到在做重力平衡的實驗過程中,「Q點」(其名稱意義見 P_2)不管置於何處做釋放,最後會回到平衡中心 P_m (實際上會有誤差)。爲了方便,我們將實驗過程中,「Q點」回到 P_m 的路徑軌跡稱爲「**回復路徑**」。因此,只要我們能找出「回復路徑」,那麼平衡中心即可求得。

四、利用回復路徑追蹤費馬點

(一)、回復路徑逼近法

「在n孔系統中,「Q點」的移動,永遠朝著系統合力的方向前進」。利用這個結論,本研究提出下面操作步驟,並以 GSP 來呈現結果:

- 【步驟 1】作出「Q點」在 P_1 處時所受到來自n孔等重拉力的合力向量 $\overline{P_1R_1}$,並在 $\overline{P_1R_1}$ 上取 P_2 ,使得 $\overline{P_1P_2}=k\overline{P_1R_1}$ 。(註四)
- 【步驟 2】作出「Q點」在 P_2 處時,所受到來自n孔等重拉力的合力向量 $\overline{P_2R_2}$,並在 $\overline{P_2R_2}$ 上取 P_3 ,使得 $\overline{P_2P_3}=k\overline{P_2R_2}$ 。
- 【步驟 3】重複上述步驟,經過第m'-1次的操作可得 $\overline{P_{m'-1}P_{m'}}=k\overline{P_{m'-1}R_{m'-1}}$ 。 則「Q點」的移動路徑軌跡,即是 $P_1\to P_2\to P_3\to ...\to P_{m'}$ 。(註四)

註四:(1)當k愈小,其回復路徑越準確。

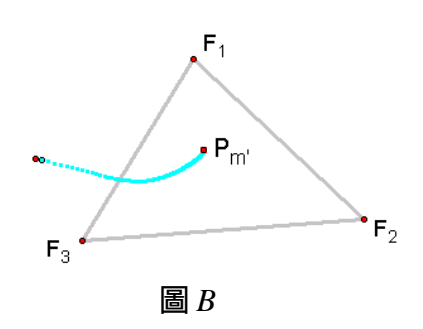
(2)當 m' 值夠大,僅利用一條回復路徑,即可得近似「費馬點」。

我們將上述操作法,稱爲『回復路徑逼近法』。所得到的 $P_{m'}$ 爲n孔系統的「逼近平衡中心」,即 $P_{m'}$ 爲n孔所形成n邊形的「逼近費馬點」。

(二)、比較「逼近費馬點」與「實際費馬點」

 $1 \cdot \Delta F_1 F_2 F_3$ 中,三內角皆小於120°

 $m \angle F_3 F_1 F_2 = 78.18^{\circ}$ $m \angle F_2 P_m F_3 = 120.00^{\circ}$ F_3 F_3

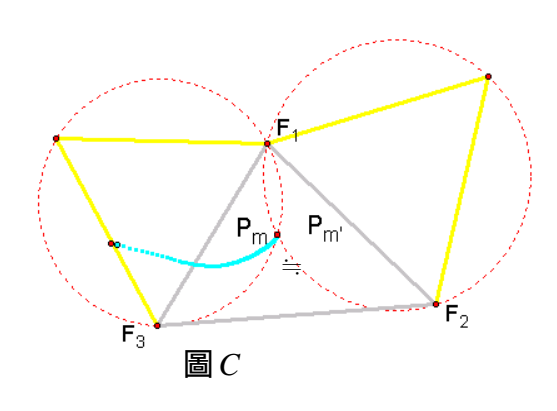


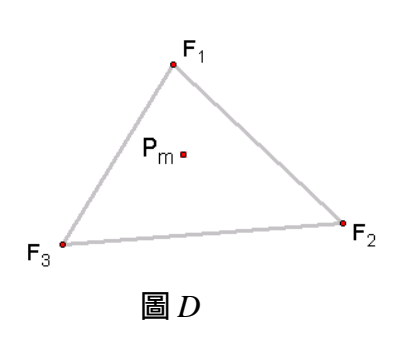
其中圖A爲多邊形理論費馬點;

圖 B 爲本研究提出的「回復路逕逼近法」所得「逼近費馬點」;

圖 C 爲合倂圖 A 與圖 B 作比較;

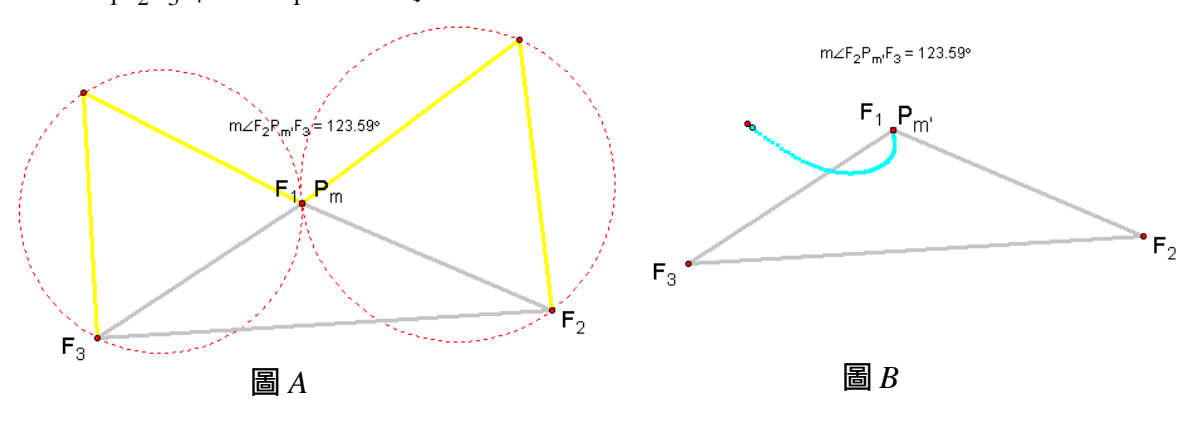
圖D為結論。

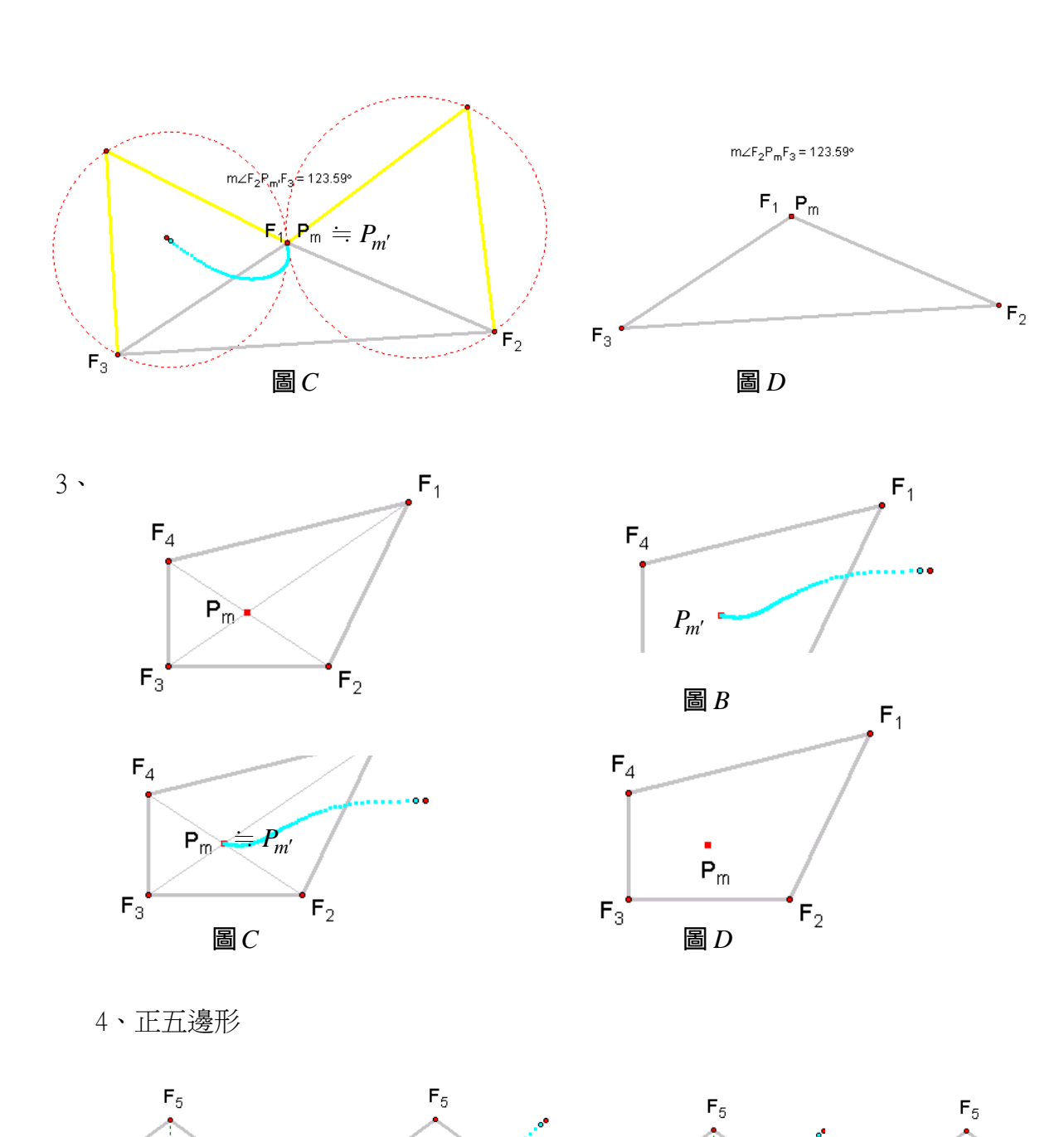


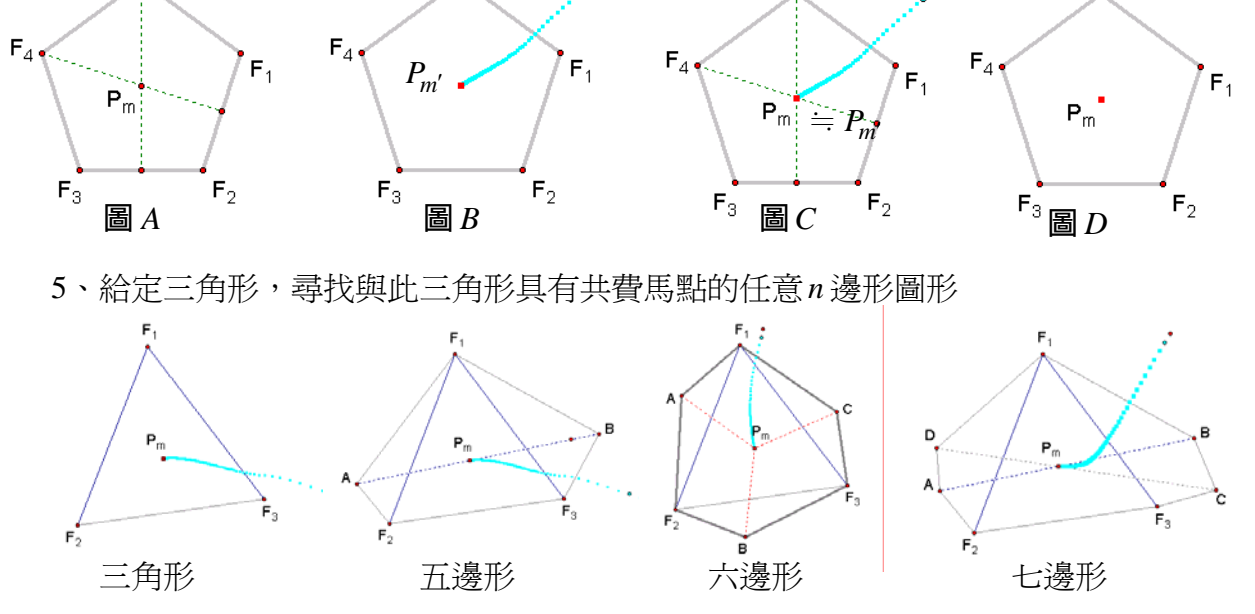


我們將圖C中 $\Delta F_1F_2F_3$ 任意做改變(三內角仍小於 120°),發現 P_m 與 $P_{m'}$ 仍爲相同一點。以下亦做相同步驟的比較:

 $2 \cdot \Delta F_1 F_2 F_3$ 中, $\angle F_1 > 120$ °時







- 【討論】(1).作出 $\Delta F_1 F_2 F_3$ 的費馬點 P_m ,並過 P_m 作 \overline{AB} 且分別在 \overline{AB} 上過 P_m 的兩側任取兩點 $A \times B$,則五邊形 $F_1 A F_2 F_3 B$ 的費馬點亦爲 P_m 。其理由是 P_m 爲 $\Delta F_1 F_2 F_3$ 中平衡中心,今於 P_m 兩端加入兩拉力,在合力抵消下,則新的平衡中心亦爲 P_m 。
 - (2).同理可得五邊形擴增至七邊形 $F_1DAF_2F_3CB$ 的費馬點亦爲 P_m ,所以n邊形擴展 至(n+2) 邊形亦同此法。
 - (3).作 $\angle AP_mB = \angle BP_mC = \angle AP_mC = 120^\circ$,則 $\overrightarrow{P_mA} + \overrightarrow{P_mB} + \overrightarrow{P_mC} = \overrightarrow{0}$,故六邊形 $F_1AF_2CF_3B$ 的費馬點亦爲 P_m ,所以n邊形擴展至(n+3)多邊形亦同此法。

從上述的比較,幾乎可以確定以「回復路徑逼近法」所得到的「逼近費馬點」即為 費馬點。爲什麼會如此神奇呢?檢視「回復路徑逼近法」的操作步驟,我們發現:

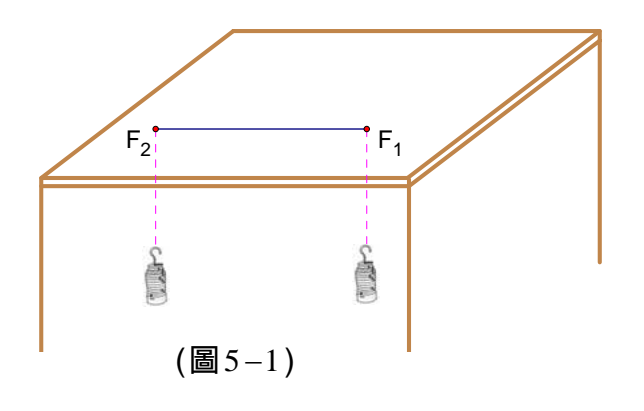
- 1、當k值越小,其回復路徑越逼真,實際上仍然為有誤差。因為在【步驟 1】,就已經離開過 P_1 點的實際回復路徑,即 $P_1 \to P_2$ 。
- 2、雖然回復路徑有誤差,但每 $P_i \to P_{i+1}$ 的步驟,我們皆重新找出「Q點」所在位置的合力,所以其合力方向永遠朝著平衡中心。如此操作下去,自然 $P_{m'}$ 會越靠近 P_m 。若m' 夠大,則 P_m 與 P_m 可視為相同點。

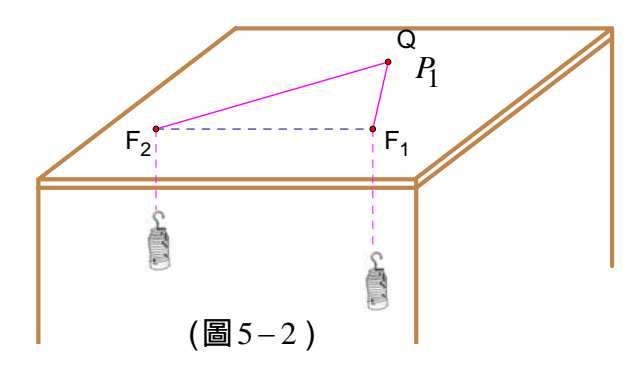
因此,要找尋 n 邊形的費馬點,以我們研究出的「回復路徑逼近法」配合 GSP 作圖即可得到。顯然比「重力平衡實驗 - 尋找費馬點」更容易、更準確、更經濟及更一般化。至於真正回復路徑的面貌是什麼?相信是很多人想要了解的,以下是我們的探討:

五、*n* 孔系統實際的回復路徑探討?

首先,我們做出兩孔的實驗:

(-)在兩孔系統中,如圖5-1將「Q點」移往桌面上 P_1 處如圖5-2釋放,其回復路徑爲如何?









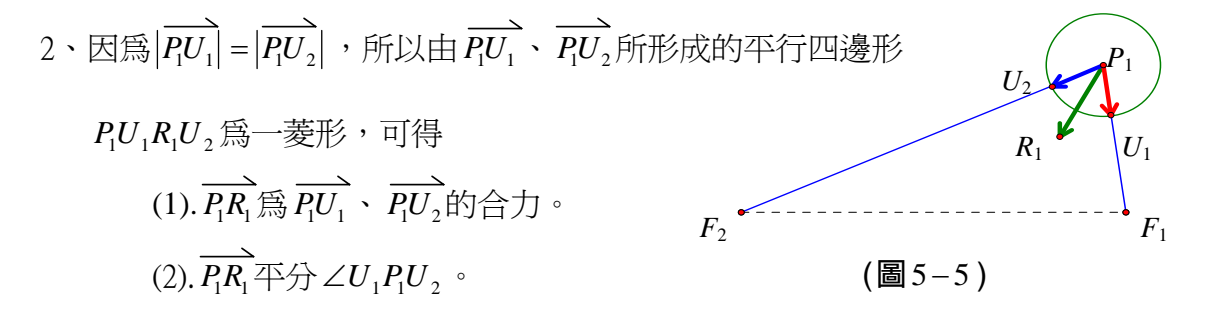
(圖5-3)

(圖5-4)

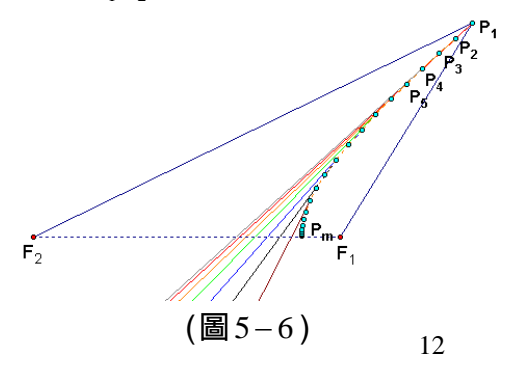
經由上面圖5-3及圖5-4簡易的實驗,發現「Q點」移動過程的路徑軌跡像是一條 彎曲的曲線。至於爲何種曲線?則是我們想瞭解的。

首先,針對圖5-2作分析,我們將「Q點」拉動至 P_1 處,此時:

1、如圖5-5,由於「Q點」受到來自 F_1 、 F_2 兩方向等重砝碼產生的拉力, $\mathbb{P}[\overline{P_1U_1}] = |\overline{P_1U_2}| \circ$



因此,當「Q點」自 P_1 處釋放,則「Q點」的移動路徑必定永遠沿著 $\angle F_1QF_2$ 之角平分線方向做移動,直到 $\angle F_1QF_2=180^\circ$,即系統達到平衡爲止。現在我們用前面分析結果: **合力的方向就是角平分線的方向**。並按照「回復路徑逼近法」的【步驟 1】、【步驟 2】重複操作下去,則「Q點」的移動路徑,是由 $P_1 \to P_2 \to ... \to P_m$ 直到 P_m 落在 $\overline{F_1F_2}$ 上(實際上 P_m 只是很接近 $\overline{F_1F_2}$ 上),透過GSP繪圖可得圖形,如圖5-6。



由圖5-6我們大膽做出猜測:

- 1、當上述操作過程的k 值取儘量小,圖中的逼近回復路徑爲一條曲線。
- 2、過 $P_i(i=1,2,\cdots,m)$ 上的合力方向,其所在的射線爲 $\overline{P_iR_i}$ (其中 $\overline{P_iR_i}$ 平分 $\angle F_1P_iF_2$),则 $\overline{P_iR_i}$ 恰爲回復路徑所形成曲線的切線。

至於具備這樣結果的曲線到底爲何種曲線?老師建議我們上網搜尋或到圖書館尋找相關資料。最後,我們在幾何學辭典中找到下面【定理三】:

【定理三】 $\angle F_1PF_2$ 角平分線爲過P點以 F_1 、 F_2 爲焦點的雙曲線之切線。

【證明】1、在 $\angle F_1PF_2$ 上作角平分線L,並於L上取一點R異於P

2、連接 $\overline{RF_1}$ 、 $\overline{RF_2}$,且在 $\overline{PF_2}$ 上取一點S使得 $\overline{PS} = \overline{PF_1}$,

3、在 ΔPSR 與 ΔPF_iR 中,

$$:: \overline{PS} = \overline{PF_1}$$
 (已知)

$$\angle 1 = \angle 2$$
 (\overline{PR} 爲 $\angle F_1 P F_2$ 的角平分線)

$$\overline{PR} = \overline{PR}$$
 (共用邊)

$$\Delta PRS \cong \Delta PRF_1$$
 (SAS 全等)

則
$$\overline{RS} = \overline{RF_1}$$

$$\sqrt[\infty]{PF_2} - \overline{PF_1} = \overline{F_2S} > |\overline{RF_2} - \overline{RS}| = |\overline{RF_2} - \overline{RF_1}|$$

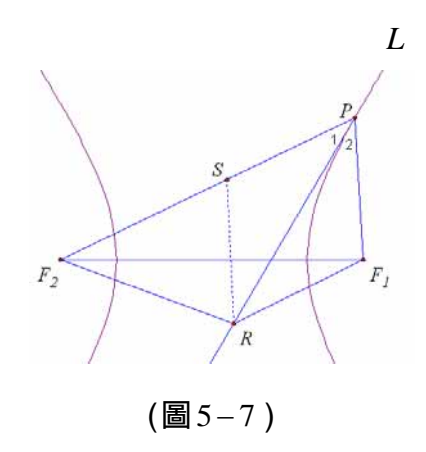
可得R不在雙曲線上。

即 $\angle F_1PF_2$ 角平分線與雙曲線僅有一個交點,也就是

 $\angle F_1 P F_2$ 的角平分線爲雙曲線過P點之切線。(註五)

註五:過P以 F_1 、 F_2 為焦點之雙曲線若存在,則此雙曲線必唯一,其理由 $\mathbb{E}\left|\overline{PF_1}-\overline{PF_2}\right|$ 為定值。

根據上述【定理三】的結論: $\angle F_1 P F_2$ 角平分線為以 F_1 及 F_2 為焦點的雙曲線之切線。 我們試著導出兩孔系統的「回復路徑方程式」:



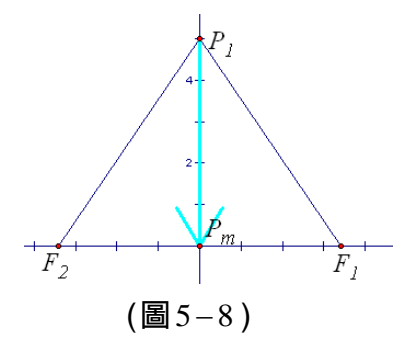
兩孔系統回復路徑方程式推導:

首先,將兩孔系統坐標化,令 $F_1(c,0)$ 、 $F_2(-c,0)$ 、 $P_1(x_1,y_1)$ 、Q(x,y)及平衡中心 $P_m($ 註六)。

註六:根據力的平衡,可知 $\overline{F_1F_2}$ 上的每一點皆可為兩孔系統的平衡中心。

假設 $|\overline{P_1F_1} - \overline{P_1F_2}| = 2a$,則:

1、當 $x_1 = 0$ (即「Q點」於 $\overline{F_1F_2}$ 的中垂線上釋放),則a = 0 可得「Q點」的「回復路徑」為 $\overline{P_1P_m}$,此時 P_m 為原點,即 $\overline{F_1F_2}$ 的中點。



理由:因爲 $\overline{P_1P_m}$ 爲 $\overline{F_1F_2}$ 的中垂線,所以當「Q點」在 $\overline{P_1P_m}$ 上, $\overline{QP_m}$ 平分 $\angle F_1QF_2$ 。 即合力方向永遠朝向 $\overline{QP_m}$,直到「Q點」靜止於 P_m ,所以 $\overline{P_1P_m}$ 爲「Q點」的回復路徑。

2、當 x_1 ≠ 0(即「Q點」在 $\overline{F_1F_2}$ 的中垂線外一點釋放),則

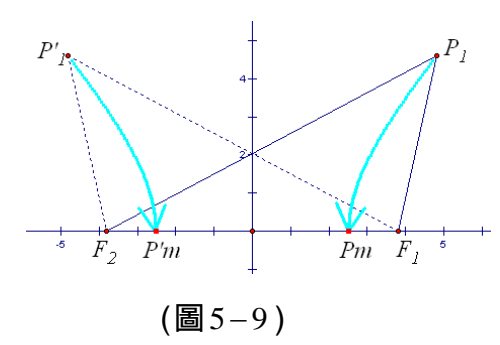
因回復路徑所在的雙曲線方程式為 $\frac{x^2}{a^2} - \frac{y^2}{b^2} = 1$,其中 $b = \sqrt{c^2 - a^2}$

當 $y = 0 \Rightarrow x = \pm a$,所以

- (1).若 $x_1 > 0$,則 $P_m(a,0)$
- (2).若 $x_1 < 0$,則 $P_m(-a,0)$

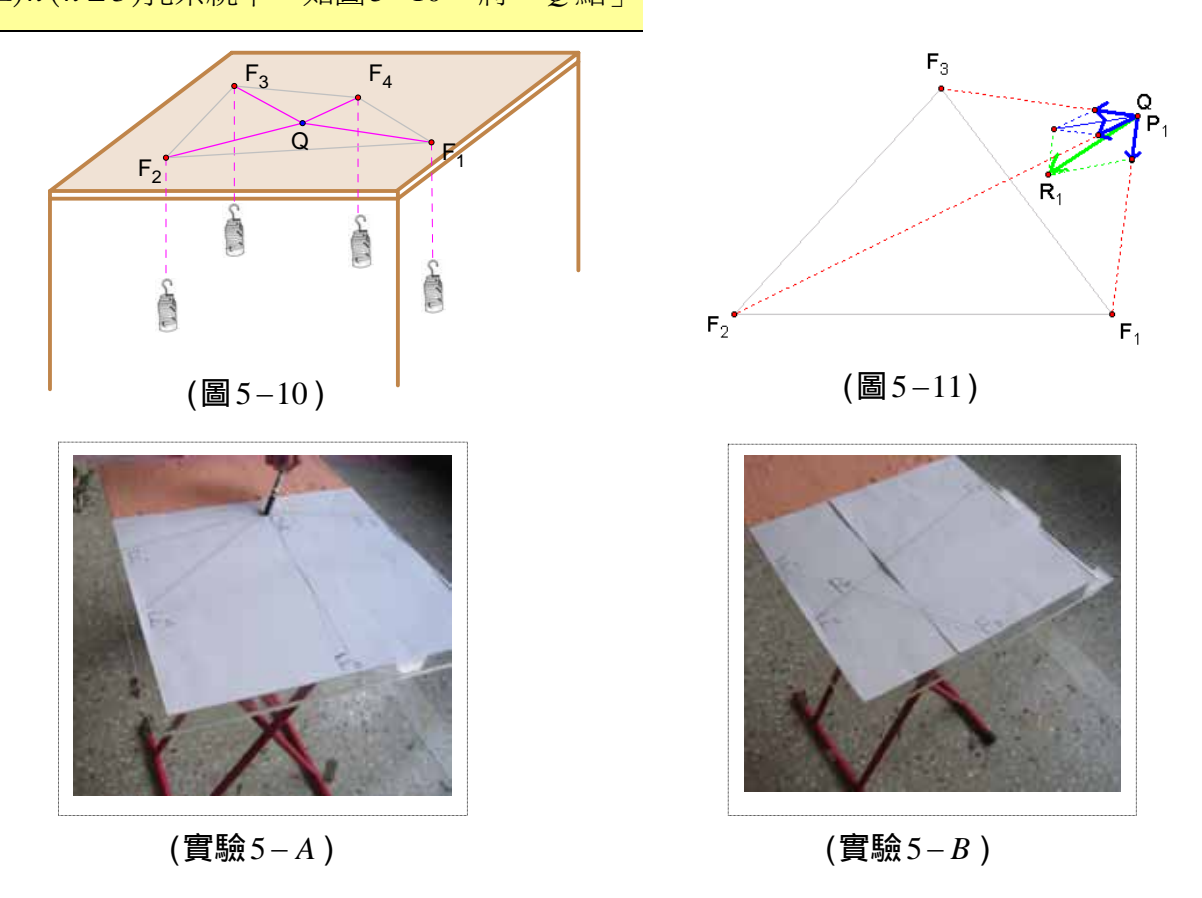
即回復路徑爲雙曲線上 $P_1 - P_m$ 的曲線段。

因此可得兩孔系統結論如下:



- 1、回復路徑爲雙曲線上 $P_1 P_m$ 的曲線段。
- 2、合力方向所在直線,爲回復路徑的切線。
- 3、平衡中心 P_m 為 $\overline{F_1F_2}$ 的費馬點。

$(二)n(n \ge 3)$ 孔系統中,如圖5-10。將「Q點」於公古兩上內患興始,共同復敗勿受加屆 9



由圖5-11我們無法直接找到類似圖5-5中,兩孔系統「角平分線與合力方向」的關係,因此我們試著從物理觀點「Q點」的移動是由高位能移動至低位能來著手。在前面總位能關係式(3-1式),見 P_5 。

$$E_i = Mg[nh - (l_1 + l_2 + \dots + l_n) + (\overline{P_iF_1} + \overline{P_iF_2} + \dots + \overline{P_iF_n})]$$
, $i = 1, 2, 3, ..., m$

其中 $nh-(l_1+l_2+\cdots+l_n)$ 爲定值,所以各點 P_i ,i=1,2,3,...,m 的總位能 E_i 之大小決定於 $L_i=\overline{P_iF_1}+\overline{P_iF_2}+\cdots+\overline{P_iF_n}$,i=1,2,3,...,m ,可得「Q點」的移動過程當中 $L_1>L_2>...>L_m$ 。 因此將系統坐標化表示,則平面上 $P_i(x,y)$ 點至各頂點 $F_1(x_1,y_1)$ 、 $F_2(x_2,y_2)$ 、…

 $F_n(x_n,y_n)$ 的距離總和 L_i ,便可以下列5-1式表示:

$$L_i = f(x, y) = \sqrt{(x - x_1)^2 + (y - y_1)^2} + \sqrt{(x - x_2)^2 + (y - y_2)^2} + \dots + \sqrt{(x - x_n)^2 + (y - y_n)^2}$$

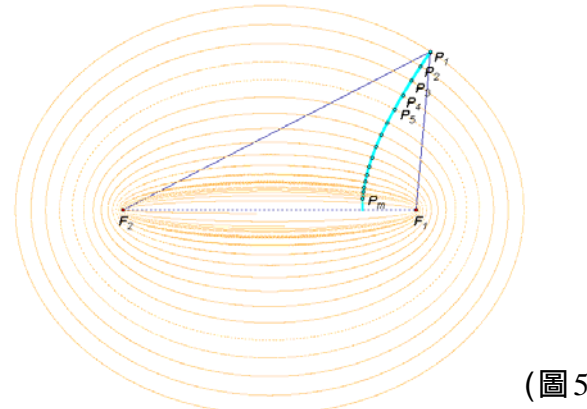
---5-1式

從數學的距離和來看,我們稱之爲「**等距線方程式**」;若由物理的位能來看,等距線方程式亦可稱爲「**等位能方程式**」。

在此發現之下,我們試著重新檢視兩孔系統的等距線方程式。當n=2、兩孔 F_1 及 F_2 在坐標平面上分別位於X 軸上,令為 $F_1(c,0)$ 與 $F_2(-c,0)$,代入等距線方程式5-1式可 得 $L_i=f(x,y)=\sqrt{(x-c)^2+y^2}+\sqrt{(x+c)^2+y^2}$

令 L_i 爲一固定值 2a,依數學上定義可得兩孔系統的等距線方程式的圖形即爲橢圓。將 上式經過整理並令 $b=\sqrt{a^2-c^2}$,則 $y=\pm\frac{b}{a}\sqrt{a^2-x^2}$ (註六),其等距線圖形與回復路徑如





(圖5-12)

註六:隨著「Q點」移動至 $P_1 \times P_2 \times \cdots \times P_m$ 會產生 $L_1 \times L_2 \times \ldots \times L_m$ 的方程式,而這些等距線方程式中的 $a \times b$ 值事實上是隨著「Q點」的移動而作改變,唯一不變的是兩孔至中點的距離c值。

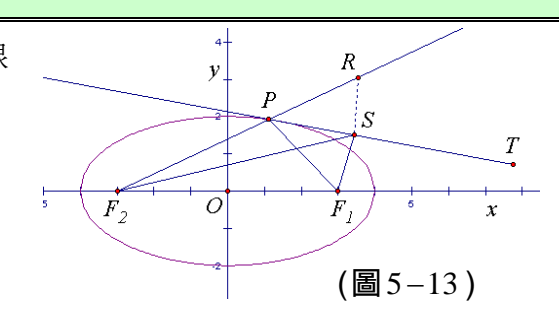
在兩孔系統的探討中很明確知道:對於平面上任意一點P,則

- $1 \cdot P$ 點所受兩端拉力的合力方向就是 $\angle F_1 P F_2$ 的角平分線方向。
- $2 \cdot \angle F_1 PF_2$ 的角平分線就是回復路徑曲線的切線。

那麼現在我們想瞭解回復路徑的切線與等距線方程式是否有數學上的關係?也就是如果能得到其相關性,也許能試著找到 $n \ge 3$ 時的回復路徑。我們在幾何學辭典一書中找到【定理四】,如下:

【定理四】設以 F_1 、 F_2 為焦點橢圓上的任意點P,則 $\angle F_1PF_2$ 的內角平分線即爲橢圓上過P點的法線。

【證明】此證明可以轉化爲 $\angle F_1PF_2$ 的外角平分線 爲橢圓上過P點的切線。



- 1、設 $\Delta F_1 P F_2$ 頂點P的外角平分線 \overline{PT} 上的任意點爲S,
- 2、連結 $\overline{SF_1}$ 、 $\overline{SF_2}$,在 $\overline{F_2P}$ 的延長線上取 $\overline{PR}=\overline{PF_1}$

因為
$$\overline{PF_2} + \overline{PF_1} = \overline{PF_2} + \overline{PR} = \overline{F_2R}$$
 $< \overline{SF_2} + \overline{SR} = \overline{SF_2} + \overline{SF_1}$

因而
$$\overline{PF_2} + \overline{PF_1} < \overline{SF_2} + \overline{SF_1}$$

故點S不在橢圓上。

也就是說,在 $\angle F_1PF_2$ 的外角平分線 \overrightarrow{PT} 上,除P以外的任意點S都不在橢圓上,及 \overrightarrow{PT} 和橢圓只有一個交點,所以 \overrightarrow{PT} 是橢圓過點P的切線,故 $\angle F_1PF_2$ 的內角平分線即爲等距線上過點P的法線方程式。

綜合上面的推論可得兩孔系統下,若P所在的等距線爲 α ,其回復路徑爲 β ,則:

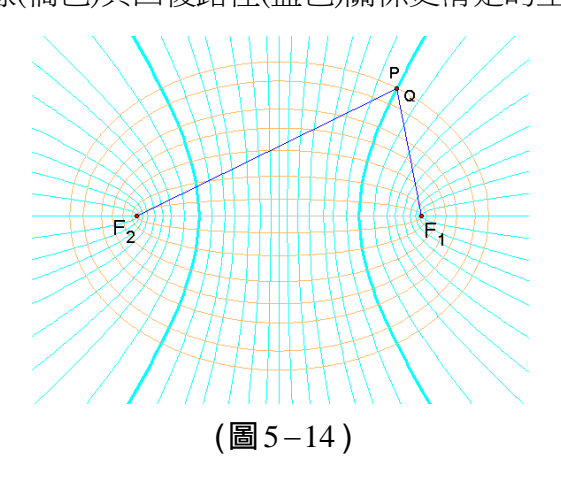
【結論】

- 1、等距線 α 與回復路徑 β 分別爲共焦點 $(F_1 \cdot F_2)$ 的橢圓與雙曲線方程式之圖形。
- 2、過P點之等距線 α 的法線恰好爲回復路徑曲線 β 的切線;

等距線 α 的切線恰好爲回復路徑曲線 β 的法線。

即等距線 α 與回復路徑曲線 β 爲「正交曲線」。(註七)

註七:過兩個曲線的任一交點之切線夾角都是90°,則稱此兩個曲線互為「正交曲線」 爲了將兩孔系統等距線(橘色)與回復路徑(藍色)關係更清楚的呈現,我們繪圖5-14:



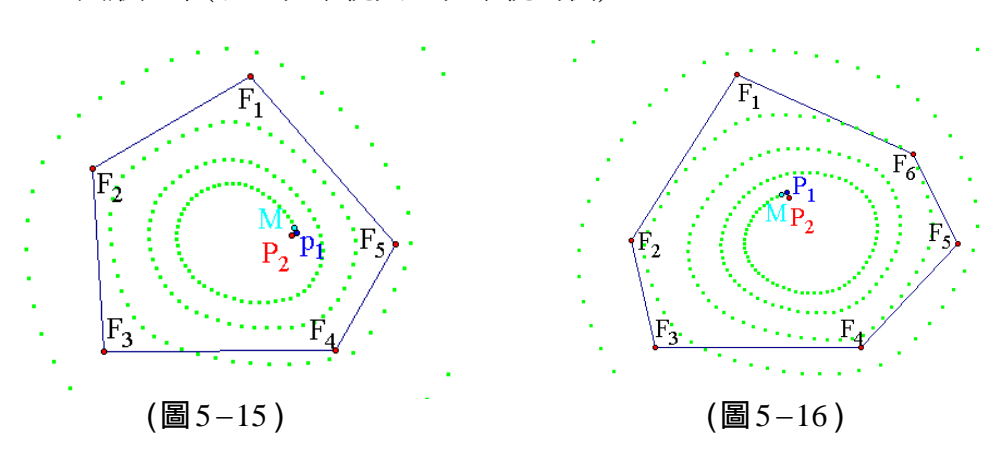
然而,在n 孔系統下,過P 點所在的等距線 α 與回復路徑所在的曲線 β 是否也形成「正交曲線」?

(三)、利用「等距線逼近法」證明等距線與回復路徑爲正交曲線

我們想不到一個好的方式來證明,查尋相關資料也未有所得。因此我們先做假設,令 P 點所在的等距線 α 與回復路徑所在的曲線 β 爲正交曲線。利用假設結果,我們研究出「**等距線逼近法**」如下:

【步驟 1】在n孔系統下,於平面找任意一點 P_1 ,計算其單位合力方向 $\overline{P_1P_1}$,並令 $\overline{P_1P_2}=k\overline{P_1R_1}$ 。

【步驟 2】以 P_1 爲旋轉中心,將 P_2 順時針旋轉90°得到 $\overline{P_1P_2} = \overline{P_1M}$ 且 $\overline{P_1P_2} \perp \overline{P_1M}$ 。 假若令k 值儘量的小,透過 GSP 繪圖軟體依上述方式以 P_1 迭代M 可得曲線 圖形如下(以五孔系統與六孔系統爲例)



不難發現所得圖形並非等距線(註八)。

註八:因為以 P_1 為旋轉中心,並將 P_2 旋轉 90° 所得到的M點,不管k值再怎麼小,M點勢必永遠落在等距線外側。重複上述【步驟 1】、【步驟 2】依序繪圖,所得圖形與實際等距線的誤差會越來越大。

【步驟3】內插法修正

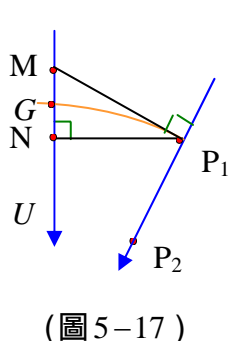
(1)作過M 的合力 \overline{MU} 。

(2)作 $P_1 \perp \overrightarrow{MU}$ 於N點。

(3)令 L_{P_1} :表示 P_1 至各頂點距離和;

 L_{M} :表示M至各頂點距離和;

 L_N :表示N至各頂點距離和。



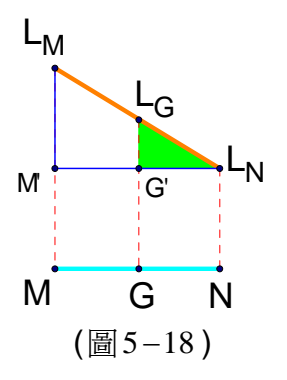
- (4)令 \overline{MN} 上一點G落在 P_1 所在的等距線上,則G至各頂點的距離和 $L_G=L_{p_1}$
- (5)將 $M \, \cdot \, G \, \cdot \, N$ 與三點所對應的 $L_{\scriptscriptstyle M} \, \cdot \, L_{\scriptscriptstyle G} \, \cdot \, L_{\scriptscriptstyle N}$ 記成數對 $(M \, , L_{\scriptscriptstyle M}) \, \cdot \, (G \, , L_{\scriptscriptstyle G})$

 (N, L_N) , 當【步驟 1】的k 値取儘量小,則上述三個數對可視爲共線。

(6)令 $\overline{MG} = x$,由(5)可將其關係繪圖如圖5-18。

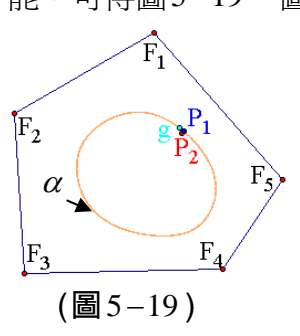
則
$$\frac{x}{\overline{MN}} = \frac{L_M - L_G}{L_M - L_N} = \frac{L_M - L_{P_1}}{L_M - L_N}$$
,可推得

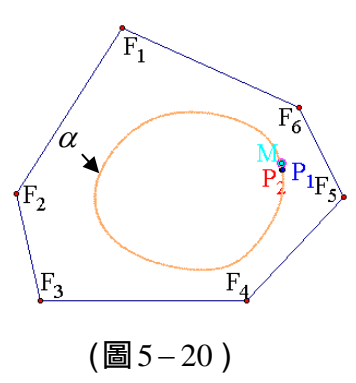
$$x = \frac{L_M - L_{P_1}}{L_M - L_N} \times \overline{MN}$$



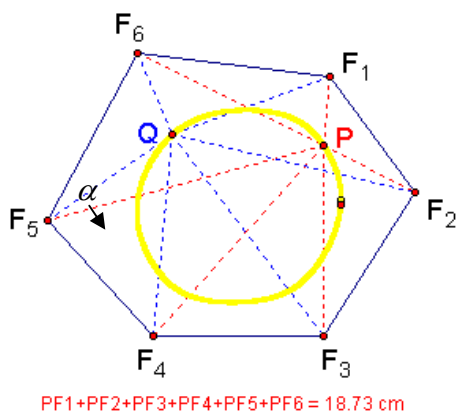
【步驟 4】以M 點爲圓心,x長度爲半徑作圓交 \overline{MN} 於G 點。接著利用GSP 迭代功

能,可得圖5-19、圖5-20。



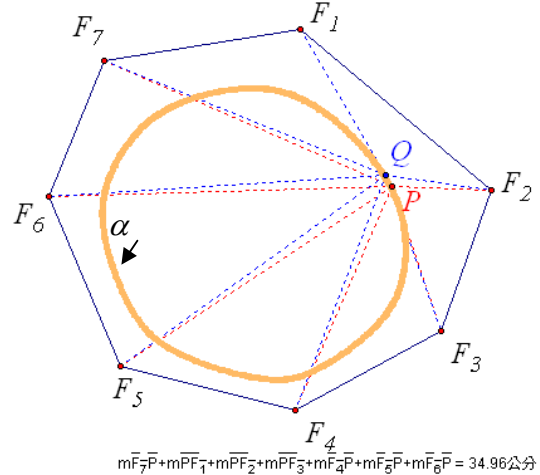


上述「等距線逼近法」所得到的圖形 α 到底與實際等距線有多大差別?我們利用 GSP 的功能,得到 α 上動點P至各頂點之距離和皆爲定值。任意改變n孔位置所得圖形,仍能有此結果。如(圖5-21)、(圖5-22)。 F_n



QF1+QF2+QF3+QF4+QF5+QF6 = 18.73 cm

(圖5-21)

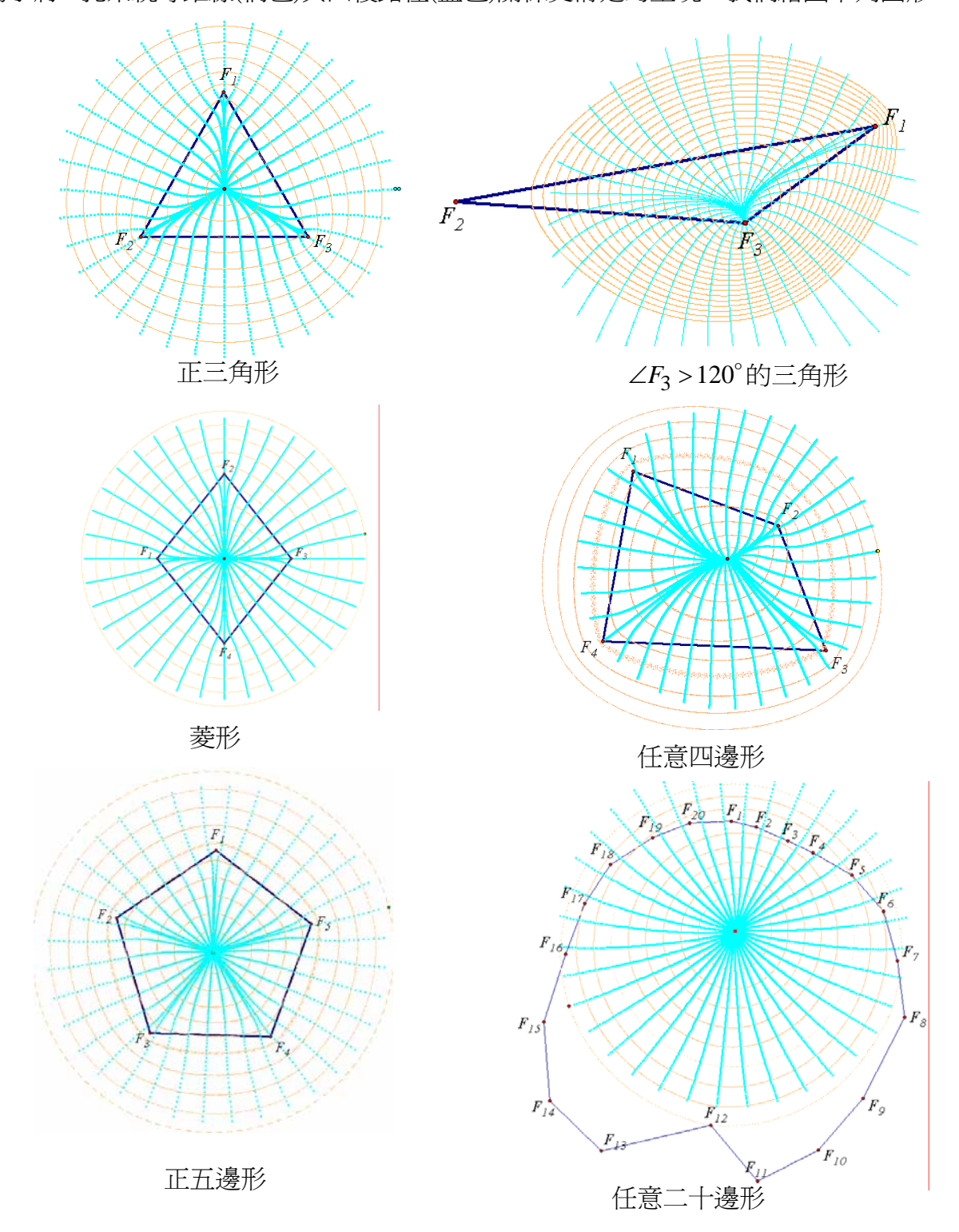


mF $_7$ P+mPF $_7$ +mPF $_2$ +mPF $_3$ +mF $_4$ P+mF $_5$ P+mF $_6$ P = 34.96 Δ +mF $_7$ Q+mF $_6$ Q+mF $_6$ Q+mF $_4$ Q+mF $_4$ Q+mF $_3$ Q+mF $_2$ Q+mQF $_1$ = 34.96 Δ +

(圖5-22)

因此,我們相信 $n \ge 3$ 其等距線與回復路徑所在圖形,形成「正交曲線」之假設是正確的。

爲了將n孔系統等距線(橘色)與回復路徑(藍色)關係更清楚的呈現,我們繪出下列圖形:



所以,理論上 $n(n \ge 3)$ 孔系統的回復路徑所在的方程式,可先求得過P點的等距線方程式(5-1式,見 P_{15}),接著求出此等距線方程式的「正交曲線方程式」,並繪出其圖形。所以只要作出不同的兩條回復路徑所在的圖形,則由圖形的交點可得「費馬點」。

只是上述過程中,我們只能表示出*n*孔系統的等距線方程式,至於如何求出其正交 曲線方程式?牽涉到高深數學知識,並不是我們能力所及,也許將來能再進一步研究。

伍、結論

- 一、n 孔系統的平衡中心即爲n 孔所形成n 多邊形的費馬點。因此,可透過n 孔系統重力 平衡實驗,尋找費馬點。但實驗誤差大且探討新圖形需再製作新模型,耗時與費工。
- 三、n孔系統的回復路徑相關結論:
 - (-)、n=2,令 $F_1(c,0)$ 、 $F_2(c,0)$,若「Q點」自 P_1 處作釋放,最後停於 P_m ,則:
 - $1 \cdot Q$ 點」的移動方向必永遠沿著合力方向也就是 $\angle F_1QF_2$ 之分角線上作移動。
 - $2 \cdot (1)$.當 P_1 在 $\overline{P_1P_2}$ 的中垂線上,其回復路徑爲 $\overline{P_1P_m}$,此時 P_m 在 $\overline{P_1P_2}$ 的中點。
 - (2).當 P_1 不在 $\overline{F_1F_2}$ 的中垂線上,其回復路徑爲以 F_1 、 F_2 爲焦點,過 P_1 所在雙曲線的曲線段 P_1-P_m 上。
 - 3、若 P_1 所在位置之等距線爲 α 、自 P_1 釋放的回復路徑所在的曲線爲 β ,則 $(1).\alpha 、 \beta$ 分別爲共焦點 $(F_1 、 F_2)$ 的橢圓與雙曲線方程式之圖形。
 - (2).α、β爲「正交曲線」。
 - $4 \cdot \overline{F_1F_2}$ 上的點皆為 $\overline{F_1F_2}$ 的費馬點。

$(\underline{\hspace{1cm}}) \cdot n \ge 3$

- 1、利用「等距線逼近法」可得出實際的等距線。
- 2、等距線與回復路徑所在的方程式圖形,會形成「正交曲線」。
- 3、理論上,利用等距線方程式與等距線與回復路徑的正交關係,可得出回復路徑的 方程式,進一步利用兩條回復路徑可得出費馬點。
- 四、本研究利用「回復路徑逼近法」追蹤到的費馬點,可視爲實際上費馬點。因此,以 此方法,可簡易地解決任意多邊形的費馬點的尋找,爲一大突破。

陸、參考文獻

- 一、高中數學課本第四冊
- 二、解析幾何辭典
- 三、數學教育研究月刊第十七期
- 三、鄭弘旻、林保良(1986),數學的哈雷慧星一奇妙的費馬點,第二十六屆中華民國中小學科展作品
- 四、王聖麟、陳文玲、洪煒倫、張簡保昌(1996),費馬點外又一章,第三十六屆中華民 國中小學科展作品
- 五、蕭敦仁(2001),費馬點的研究與應用,第四十一屆中華民國中小學科展作品
- 六、陳璽文、陳璽中、曾資晏(2003),費馬點的剋星,第四十三屆中華民國中小學科展 作品
- 七、鄭旻佳、張佑任(2005),國家寶藏,第四十五屆中華民國中小學科展作品

附錄一、歷屆中華民國中小學科學覽會與「費馬點」有關的優勝作品之研究方法與結果:

屆別	作品名稱	作者(台北市立中正國中)	指導老師
26	數學的哈雷慧星一奇妙的費馬	鄭弘旻 林保良	張吉生、林秀珍
	點		

- 1、文章內容主要是探討三角形費馬點的性質。
- 2、文末提供理論上可以物理方法求得一點至各頂點的距離和爲最小值。

屆別	作品名稱	作者(高雄縣立鳳山國中)	指導老師
36	費馬點外又一章	王聖麟、陳文玲、洪煒倫、張簡保昌	杜鴻祥

以26屆作品爲基礎,改由相似三角形證明三角形費馬點的性質。

屆別	作品名稱	作者(高雄市立五福國中)	指導老師
41	費馬點的研究與應用	蕭敦仁	張榮富、余尚芸

參考 26 屆以物理力的平衡及電流實驗尋找三角形與四邊形的費馬點,過程中利用一次函數輔助增加實驗準確度。

屆別	作品名稱	作者(國立鳳山高級中學)	指導老師
43	費馬點的剋星	陳璽文、陳璽中、曾資晏	蘇武章、簡瑞仁

- 1、在四邊形內部取兩點X、Y兩點,使其到四頂點的距離和爲最小。
- 2、在五邊形內部取P、M、N三點,使其到五頂點的距離和爲最小。

屆別	作品名稱	作者(高雄市瑞豐國民中學)	指導老師
45	國家寶藏	鄭旻佳、張佑任	林虹慶、潘怡勳

- 1、凸奇數邊形的費馬點,存在於內部一點P使得P與相鄰兩頂點連線夾角為 $\frac{360^{\circ}}{n}$ 。
- 2、凸偶數邊形的費馬點,僅討論邊數爲3m(m爲正整數)可由三角形疊合方式尋找。
- 2、四面體內一點P到任兩個頂點連線夾角餘弦値為 $-\frac{1}{3}$ 點。

【評語】030422

- 1. 研究動機値得鼓勵。
- 2. 回復路徑逼近法,剖析深入討論詳實。
- 3. 多邊形費馬點的理論探求宜再深入。